

DM 9336

Antigua explotación de las Calizas de los Navalucillos al E de San Pablo de los Montes



DM 9337

Detalle de las calizas anteriores (1). estratificación: N130E /85N y (2). fracturación con espaciado centimétrico: N140E/47S



DM 9338

Detalle de repliegues menores en planos axiales N55E/15N en las calizas de Navalucillos en la cantera anterior



DM 9339

Vista parcial del contacto de los granitos de S. Pablo (1) y los tramos cuarcíticos, areniscosos y pizarrosos del Ordovícico Inferior (2) al SE de S. Pablo de los Montes



DM 9340

Panorámica de S. Pablo de los Montes desde los relieves calizos de la foto 9336:

1. Calizas de los Navalucillos. Cámbrico Inferior
2. Cuarcita, areniscas y pizarras. Ordovícico Inferior
3. Granitos de S. Pablo de los Montes



DM 9341

Panorámica de antigua cantera de las Calizas de Los Navalucillos al NO de S. Pablo de los Montes



DM 9342

Detalle de las Calizas de Los Navalucillos de la foto anterior.



DM 9343

Detalle de niveles con estructuras orgánicas en los tramos basales del Ordovícico Inferior (Serie Intermedia o Serie Púrpura)



DM 9344

Panorámica de Hontanar

1. Granitos de Hontanar
2. Sedimentos recientes
3. Cuarcita armoricana. Ordovícico Inferiro
4. Cuarcitas, areniscas y pizarras (Serie Intermedia o Serie Púrpura). Ordovícico Inferior



DM 9345

Vista parcial de tramos pizarrosos púrpuras en la zona basal de la Serie Púrpura al SO de Hontanar



DM 9346

Detalle de la foto anterior



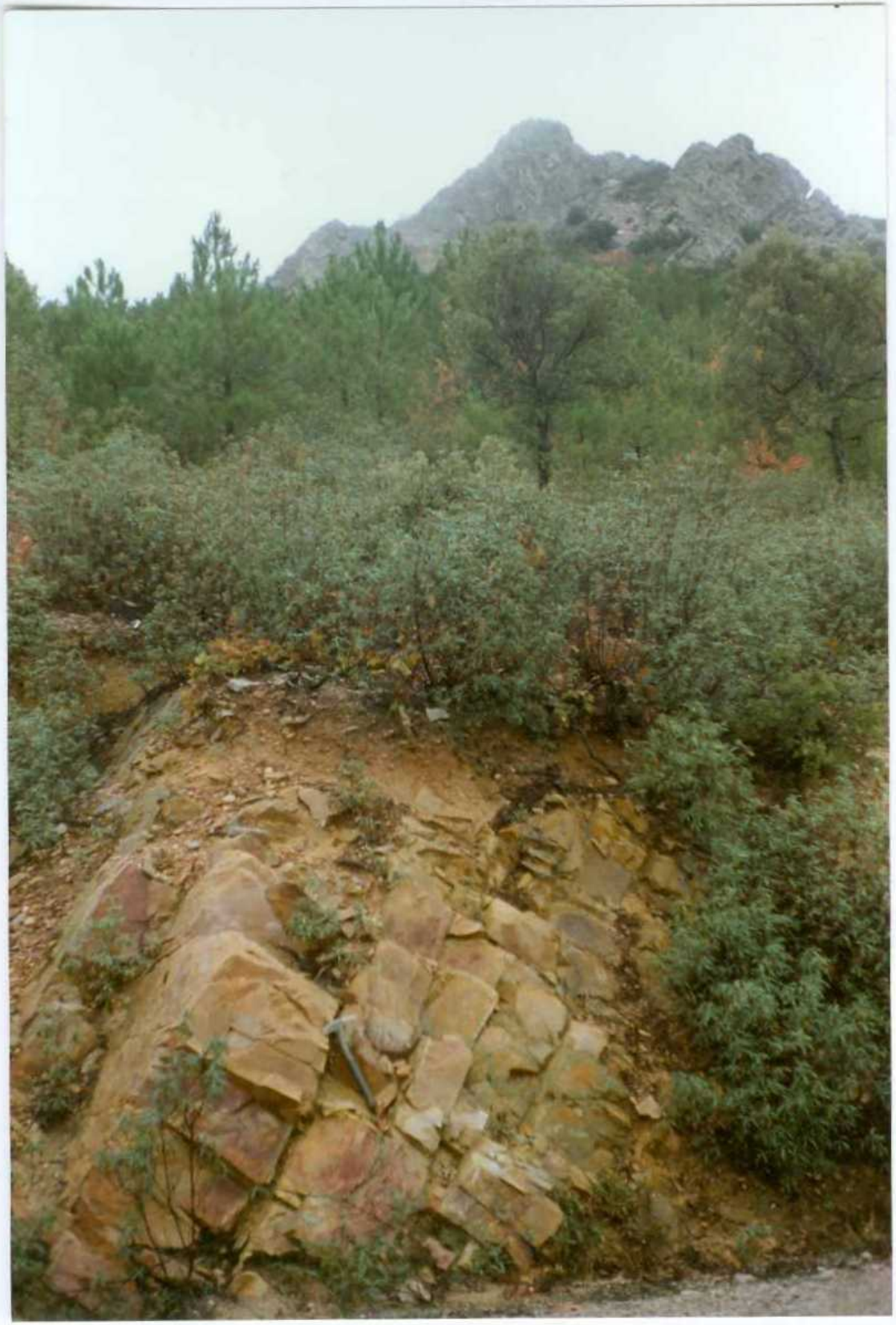
DM 9347

Vista parcial de tramos pizarrosos y cuarcíticos de la Serie Intermedia o Serie Púrpura en el Km 59,5 de la ctra Navahermosa-Navas de Estera



DM 9348

Detalle de estratificación cruzada en niveles areniscoso-cuarcíticos de la foto anterior



DM 9349

Panorámica de la Cuarcita armonicana en el Km 60 de la ctra Navahermosa - Navas de Estena



DM 9350

Detalle de alternancia de pizarras y cuarcitas del tramo cartográfico "Cuarcitas armonicanas" tomada junto a la foto anterior



DM 9351

Detalle de alternancia de pizarras y cuarcitas perteneciente a "Estratos de Pochico" del Ordovícico Inferior-Medio c.c. Navahermosa-Navas de Estena



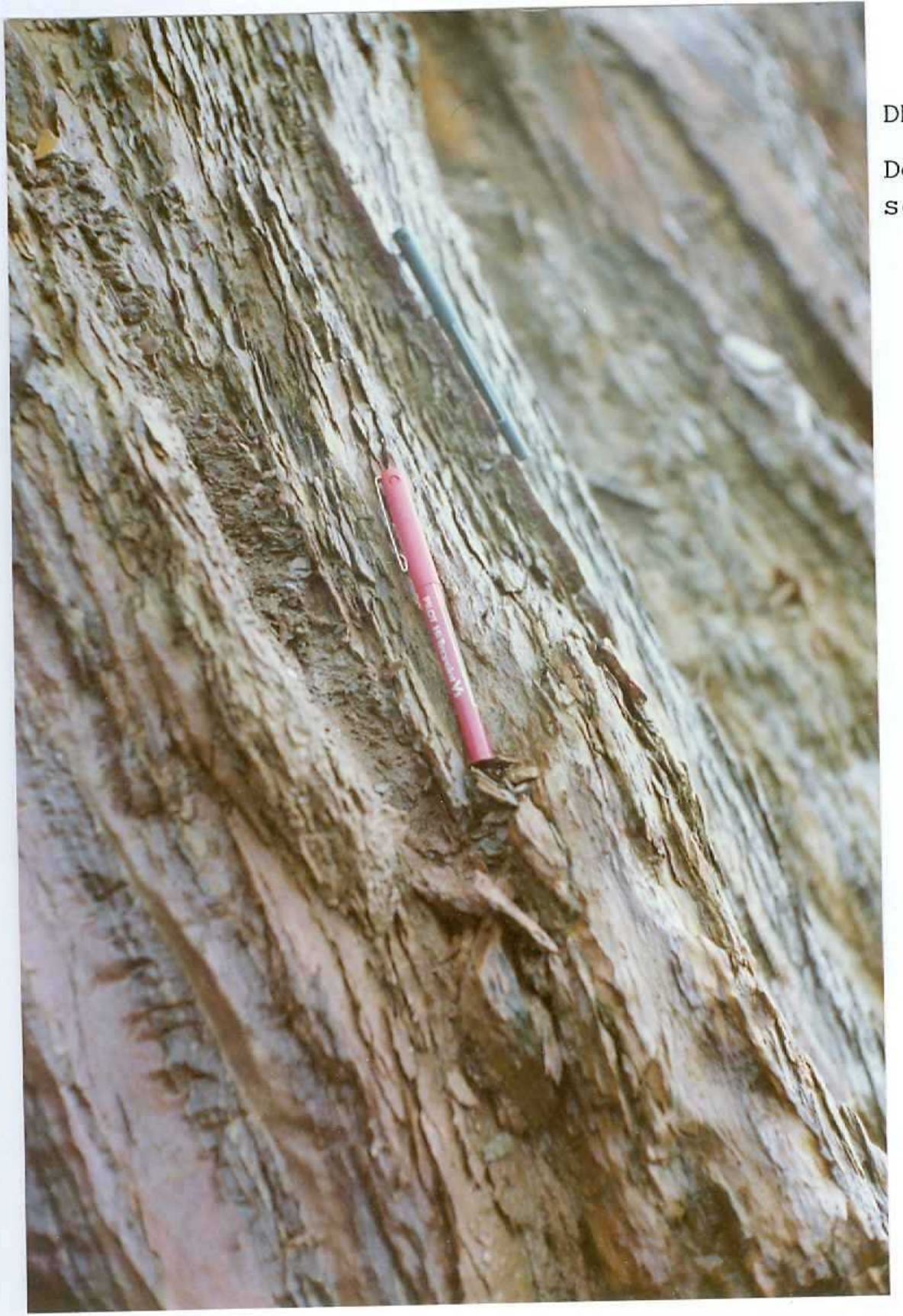
DM 9352

Plano de estratificación de arenisca con estructuras de carga. "Estratos de Pochico", Ordovícico Inferior (c.c. Navahermosa - Navas de Estena)



DM 9353

Vista parcial de pizarras vinosas del techo de los "Estratos Pochico" al S de Ventas con Peña Aguilera



DM 9354

Detalle de la foto anterior donde se observa la So y S1



DM 9355

Detalle de ripples de interferencia en niveles cuarcíticos de los "Estratos Pochico" (c.c. Navahermosa-Navas de Estena, Km 66)



DM 9356

Detalle de pizarras vinosas del techo del tramo "Estratos de Pochico" en el Km 67,4 de la c.c. Navahermosa-Navas de Estena



DM 9357

Panorámica del contacto entre Estratos de Pochico" (1) y pizarra con Neseuretus (2)



DM 9358

Detalle de pizaras negras con Neseuretus del Ordovíco Medio en el Km 68,5 de la c.c. Navahermosa-Navas de Estena



DM 9359

Panorámica de los sedimentos ordovícicos en el Arroyo Milano (Km 68 de la c.c. Navahermosa-Navas de Estena)

1. Cuarcitas, areniscas y pizarras, Serie Intermedia o Púrpura
2. Cuarcita armonicana
3 Cuarcitas, areniscas y pizarras, Alternancia de Pochico
4. Pizarras negras con Neseuretus



DM 9360

Panorámica de las Navillas (1)-San Pablo de los Montes (2) tomada en el Cerro del Cuervo

3. Calizas. Cámbrico Inferior
4. Cuarcitas, areniscas y pizarras. Serie Intermedia o Púrpura. Ordovícico
5. Sedimentos ordovícicos de la Serie Intermedia y Cuarcita armonicana que configuran los relieves del S. de San Pablo de los Montes y Ventas con Peña Aguilera
6. Rocas graníticas
7. Abanicos aluviales Pliocuaternarios



DM 9361

Panorámica de los relieves paleozoicos del S y SE de Navahermosa

1. Cuarcitas, areniscas y pizarras. Serie Intermedia o Púrpura. Ordovícico Inferior
2. Cuarcita armonicana. Ordovícico Inferior
3. Rocas graníticas
4. Abanicos aluviales pliocuaternarios
5. Sinclinal de la Ermita del Milagro
6. Repliegues de cuarcita armonicana entre Corral de Cantos-Cuerda-Collado de Pasamontes



DM 9362

Panorámica del Paleozoico en el área de los Calanchares, al SE de la hoja

1. Sedimentos pliocuaternarios
2. Cuarcitas, areniscas y pizarras. Serie Intermedia. Ordovícico Inferior
3. Cuarcita armonicana. Ordovícico Inferior
4. Cuarcita, areniscas y pizarras. Alternancia Pochico-Ordovícico Inferior-Medio
5. Pizarras negras con Neseuretus. Ordovícico Medio



DM 9363

Panorámica del Paleogeno en el Puerto del Milagro (c.403)

1. Sedimentos pliocuaternarios
2. Serie Intermedia. Ordovícico Inferior
3. Cuarcita armoricana. Ordovícico Inferior
4. Alternancia Pochico. Ordovício Inferior-Medio
5. Pizarras negras con Neuseretus. Ordovícico Medio



DM 9364

Vista parcial del pliegue menor de F 1 en el PK 61,2 de la c.c. Navahermosa-Navas de Estena



DM 9365

Anticlinal menor de Fase 1 con chanela N160E y 22ºN en el pK. 61,3 de la c.c. Navahermosa-Navas de Estena



DM 9366

Pliegue de Fase 1 con chanelas buzando al N entre 12 y 15º en el mismo punto de la foto anterior



DM 9367

Detalle de la foto anterior



DM 9368

Detalle de pliegue métrico fallado



DM 9369

Detalle de equistosidad de Fase 1 en niveles alternantes



DM 9370

Vista parcial de pliegue métrico de fase 1 en materiales alternantes, Pochico, del Ordovícico Inf. Med. en el pK. 65,6 de la c.c. Navahermosa a Navas de Estena



DM 9371

Pliegue de F1 en facies Pochico en el pK 66,8 de la c.c. Navahermosa-Navas de Estena



AI 9401

Granito biotítico de grano medio-fino, con moscovita y cordierita. Presenta un sistema principal de diaclasado penetrativo con dirección N-120-125º E/subvertical.(Pueblo de Hontanar. SO de Navahermosa).



AI 9402

Detalle del afloramiento anterior. En general, los megacristales de feldespato potásico son poco abundantes o muy escasos



AI 9403

Granito biotítico-moscovítico, de grano medio-fino, con esporádicos megacristales de feldespato potásico y escasos microenclaves micrograudos. Similar al de la foto nº 1 (Arroyo de Merlín. Puente viejo de la carretera Gálvez-Navahermosa).



AI 9404

Granito biotítico y porfídico, de grano grueso (Tipo "Gálvez"). (Arroyo Torcón. Puente nuevo de la carretera Gálvez -Navahermosa).



AI 9405

Hastial fallado a "muro" de un dique pegmoaplítico que intruye en el afloramiento de la foto anterior.



AI 9406

Aspecto mesoscópico de una pegmatita con numerosos "nests" de turmalina. En el mismo afloramiento de la foto anterior



SC 9407

• SIN UBICACIÓN, EN PLANO DE SITUACIÓN DE MUESTRAS, NI EN MCC1

"Schlierem" biotíticos definiendo una foliación planar N110°E y buzamiento de 25° al Norte, en el granito (monzogranito) biotítico ± cordierítico de grano medio (Tipo Mora-Menasalbas) en la carretera a la salida del pueblo de Cuerva dirección Pulgar.

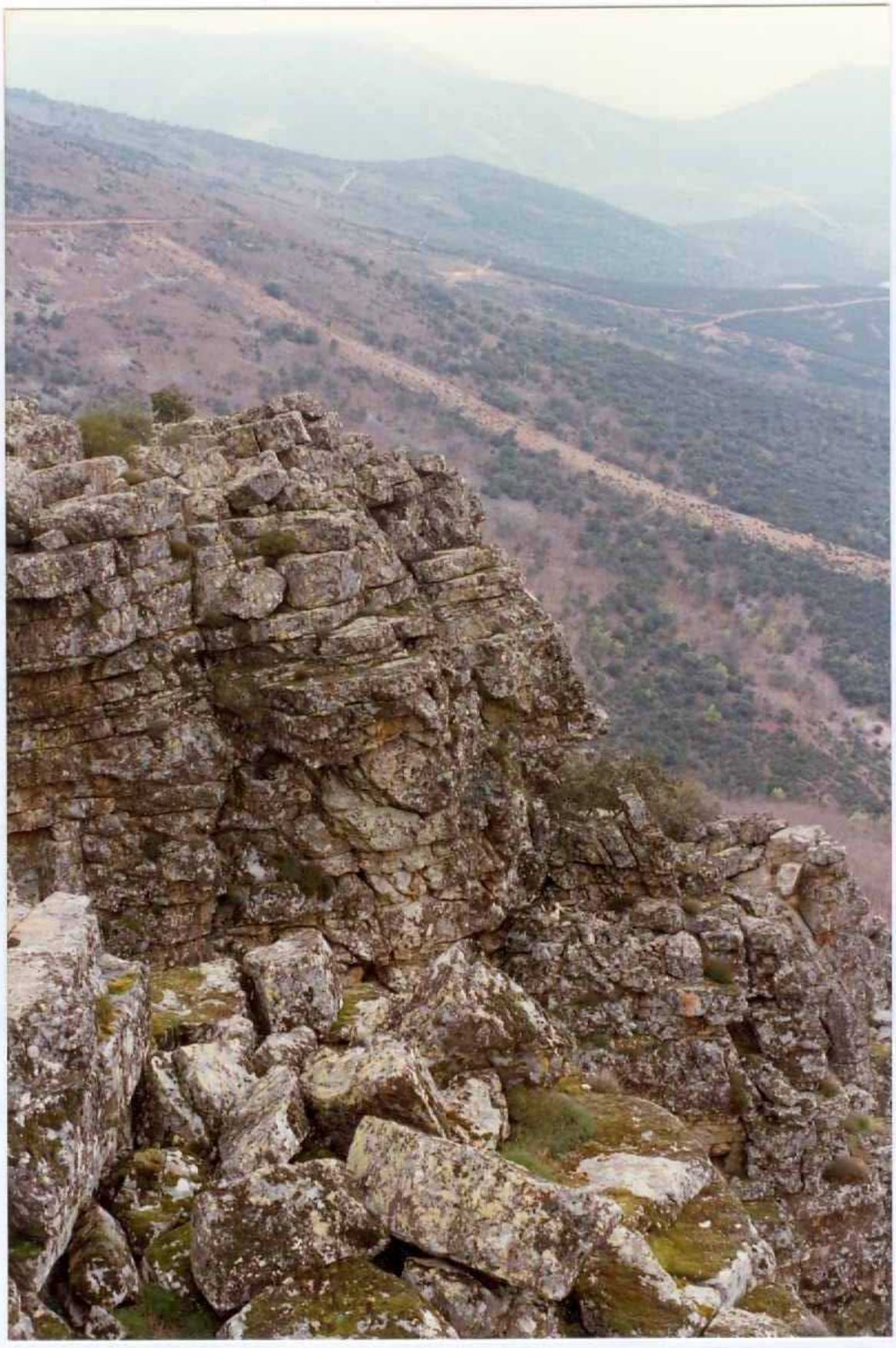


SC 9408

• SIN UBICACIÓN EN PLANO DE SITUACIÓN DE MUESTRAS, NI EN MCC1

Idem a la anterior tomada en un plano perpendicular al de buzamiento.

SIN UBICACIÓN EN PLANO DE SITUACIÓN DE MUESTRAS, NI EN MCC1



JG9411. Fracturación en cuarcitas y generación de bloques por crioclastia. Corral de Cantos.



JG9412. Canchal en la sierra de Corral de cantos.

• SIN UBICACIÓN EN PLANO DE SITUACIÓN DE MUESTRAS, NI EN MCC1.



JG9413. Gnamma afectando a cuarcitas en la Sierra de Corral de Cantos.

• SIN UBICACIÓN EN PLANO DE SITUACIÓN DE MUESTRAS. NI EN MCC1



JG9414. Cárcavas en un abarrancamiento excavado en las laderas de la raña de Navahermosa.

• SIN UBICACIÓN EN PLANO DE SITUACIÓN DE NUESTRAS. NI EN MCC1



JG9416. Superficie culminante en las sierras paleozoicas de Vicente-Cerillón. En primer término, superficie de la raña.

• SIN UBICACIÓN EN PLANO DE SITUACIÓN DE MUESTRAS, NI EN MCC1